

碎屑性堆積岩と地球環境やテクトニクス

堆積物・堆積岩と表層環境やテクトニクス
(2) 堆積物・堆積岩とテクトニクス

碎屑性粒子

- ①性質
- ②量比
- ③形態

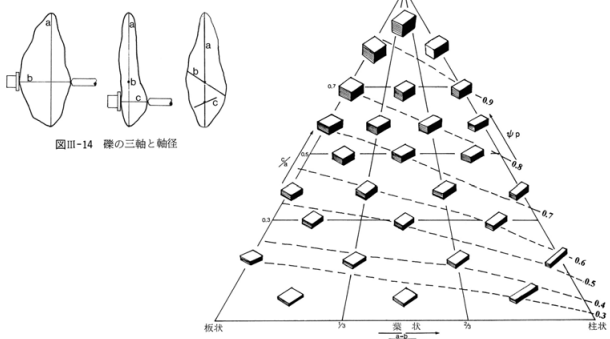
礫岩ではimbrication

砂岩の組成

- ①後背地、②粒子の選択
③テクトニクス、④堆積環境

①礫岩・砂岩の分類(構成粒子の形態)

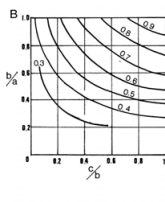
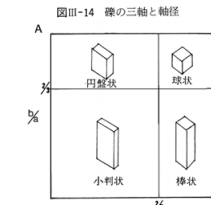
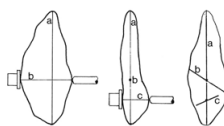
(1) 磯や砂の形態(球形度)



図III-19 磯の形状分類 (Sneed and Folk, 1958)
最大投影面球形度 (ψ) は破線で表されている

①礫岩・砂岩の分類(構成粒子の形態)

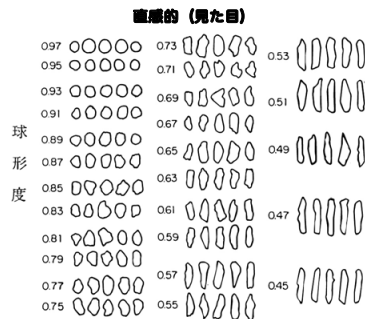
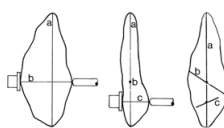
(1) 磯や砂の形態(球形度)



図III-18 磯の形状分類 (A:Zingg, 1935) と球形度曲線 (B:Krumbein, 1941)

①礫岩・砂岩の分類(構成粒子の形態)

(1) 磯や砂の形態(球形度)



図III-20 球形度印象図 (Rittenhouse, 1943)

①礫岩・砂岩の分類(構成粒子の形態)

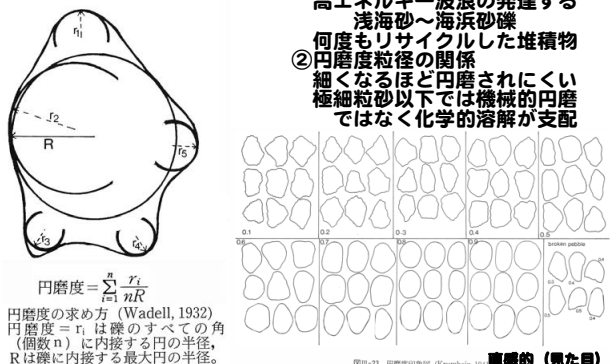
(1) 磯や砂の形態(円磨度)

①高い円磨度: 砂漠の風成砂

高エネルギー波浪の発達する
浅海砂～海浜砂礫

何度もリサイクルした堆積物

②円磨度粒径の関係
細くなるほど円磨されにくく
極細粒砂以下では機械的円磨
ではなく化学的溶解が支配

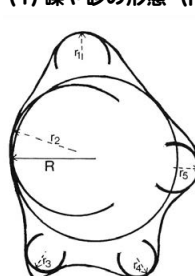


円磨度の求め方 (Wadell, 1932)
円磨度 = r_i は砾のすべての角 (個数 n) に内接する円の半径, R は砾に内接する最大円の半径。

図III-23 円磨度印像図 (Krumbein, 1943)

①礫岩・砂岩の分類(構成粒子の形態)

(1) 磯や砂の形態(円磨度)



図III-24 円磨の程度のクラス分け (Powers, 1953 をもとに, Pettijohn et al., 1972 が作成)

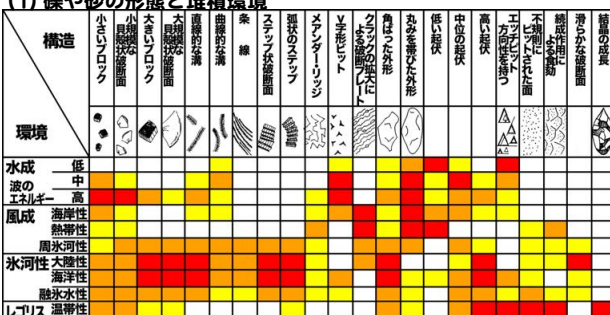
	Russel & Taylor (1937)		Pettijohn (1975)	
	円磨度	中央値*	円磨度	中央値*
角 磨	0-0.15	0.075	0-0.15	0.125
面 角 磨	0.15-0.30	0.225	0.15-0.25	0.200
亞 円 磨	0.30-0.50	0.400	0.25-0.40	0.315
円 磨	0.50-0.70	0.600	0.40-0.60	0.500
超 圓 磨	0.70-1.00	0.850	0.60-1.00	0.800

*: 算術平均

*: 幾何平均

①砂岩やレキ岩の分類(粒子の形態)

(1) 磯や砂の形態と堆積環境

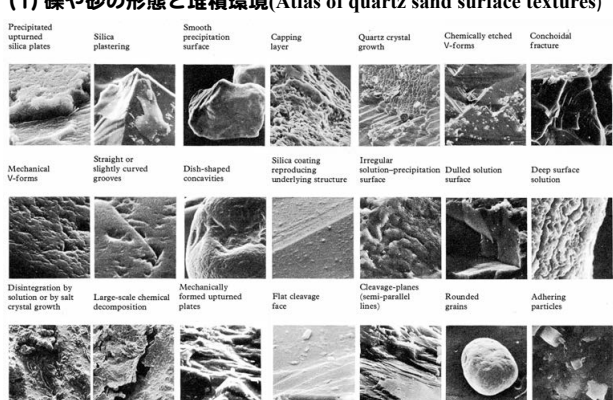


石英粒子の形態・表面組織と堆積環境の相関
それぞれの環境下の石英粒に占める割合
(Margolis & Krinsley 1974)

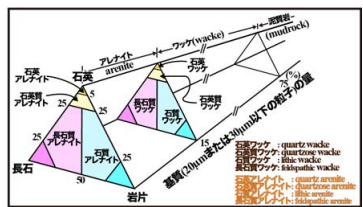
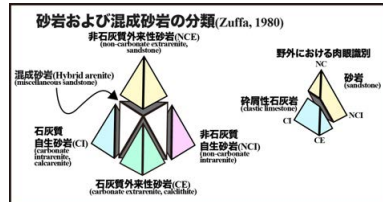
5%以下ないし全く見られない
25-5%に見られる
75%以上に見られる

①砂岩やレキ岩の分類(粒子の形態)

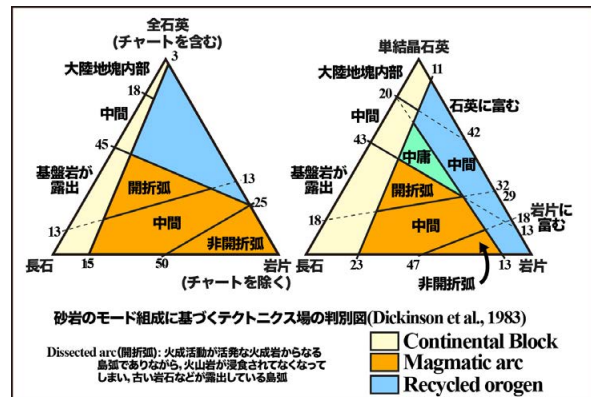
(1) 磯や砂の形態と堆積環境(Atlas of quartz sand surface textures)



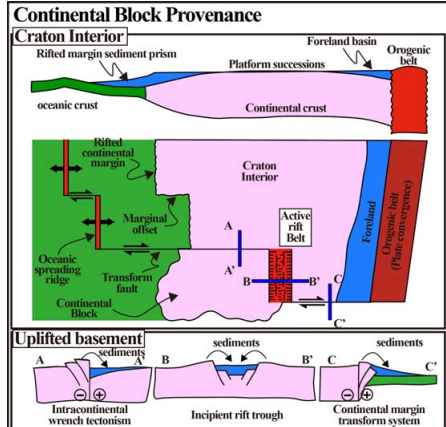
①砂岩の分類(構成粒子の種類と量比)



①砂岩の鉱物組成とテクトニクス

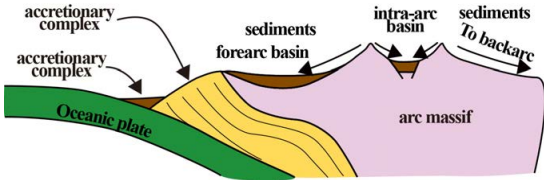


Continental blockとは

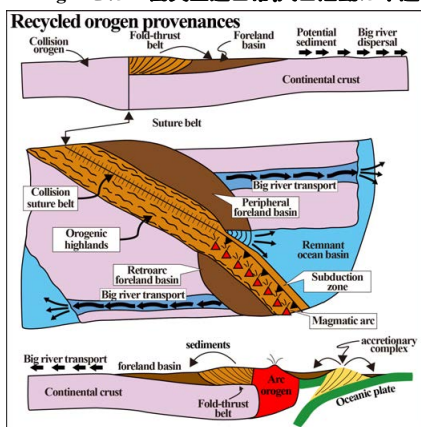


Magmatic arcとは

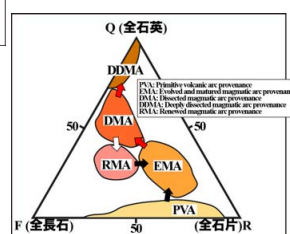
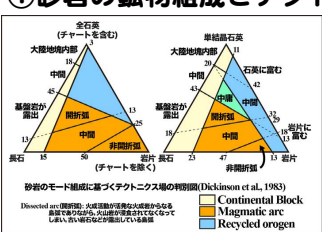
Magmatic arc provenances



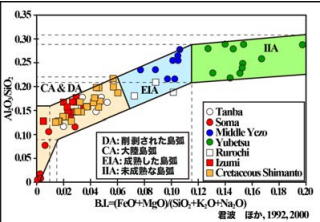
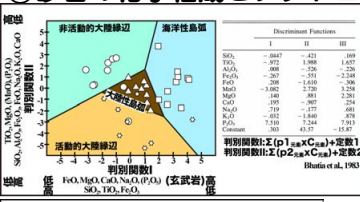
Recycled orogenとは：衝突型造山帯(火山活動は卓越しない)



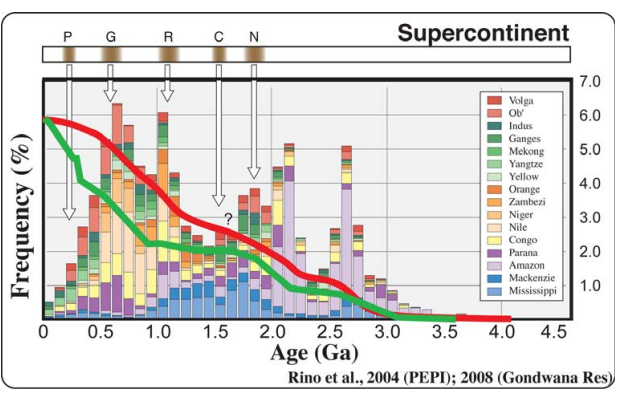
①砂岩の鉱物組成とテクトニクス



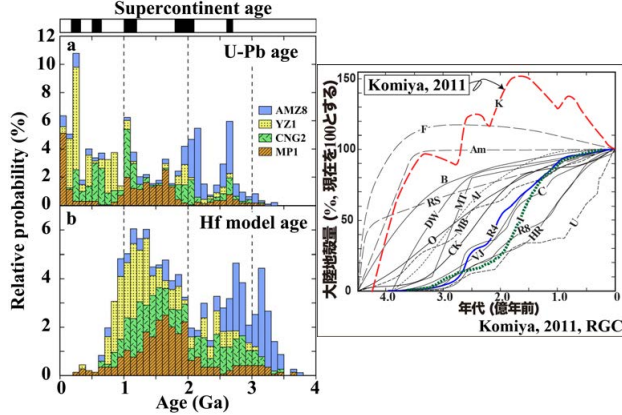
①砂岩の化学組成とテクトニクス



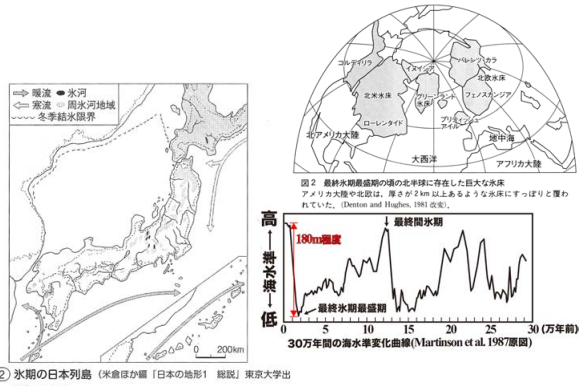
①川砂中のジルコンの年代分布



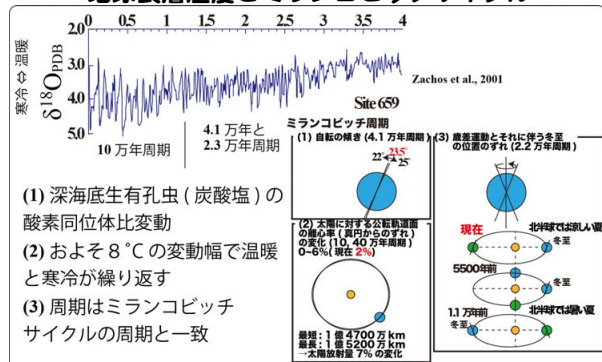
①川砂中のジルコンの年代と同位体分布



①海水準変動とシーケンス層序 氷期・間氷期サイクルと海水準変動



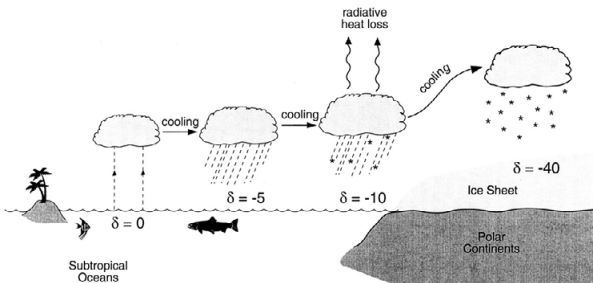
地球表層温度とミランコビッチサイクル



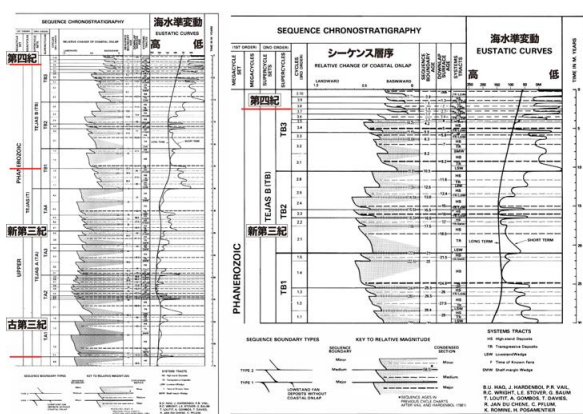
酸素同位体

(1) 軽い同位体ほど蒸発などのときに、気体に濃集する。

$$\delta^{18}\text{O} = \left\{ \frac{\left(\frac{18}{16}\text{O} \right)_{\text{sample}}}{\left(\frac{18}{16}\text{O} \right)_{\text{SMOW or PDB}}} - 1 \right\} \times 1000 (\text{‰})$$



海水準変動とシーケンス層序

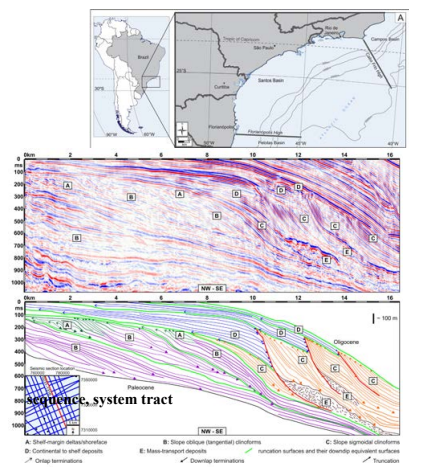


海水準変動とシーケンス層序



図1.48 地層における階層性

海水準変動とシーケンス層序



堆積の連続と休止、不整合

(1) 無堆積

① 堆積は断続的→一度のイベント+休止期

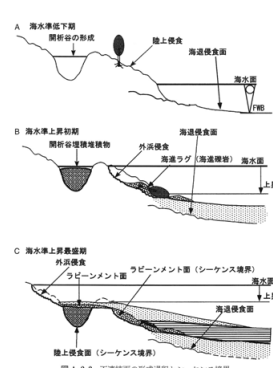
e.g. → Boumaシーケンス(連続)→その間

② 休止期：海水準の上昇による海岸線の後退

→ 後背地におけるテクトニクスの変化

→ 堆積に長時間を要す(時間が凝縮)

→ 凝縮層(condensed section)



(2) 侵食面

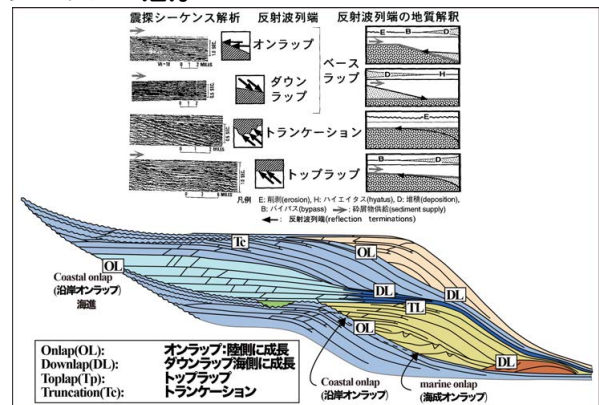
① 陸上不整合

② 海進侵食面(ラビーンメント面)

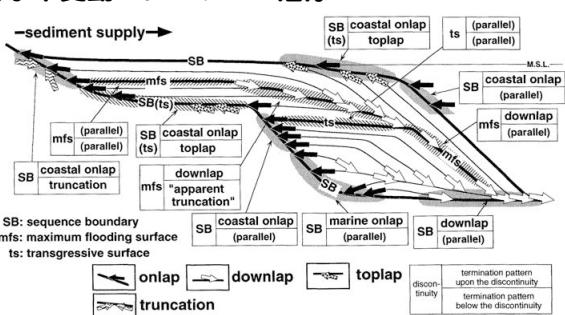
③ 海退侵食面

図1-2-3 不連続面の形成過程とシーケンス境界

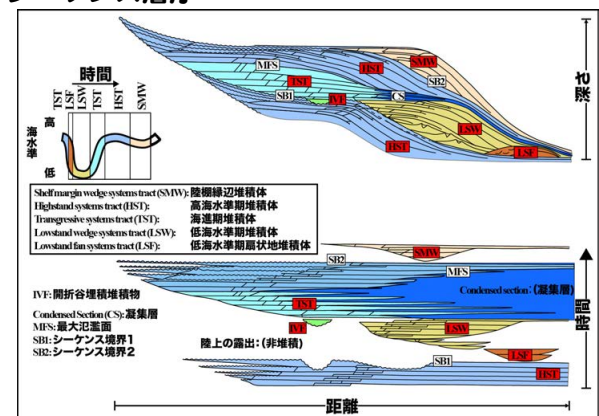
シーケンス層序



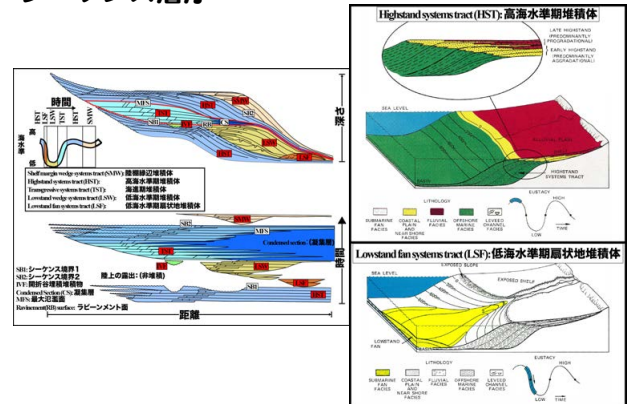
海水準変動とシーケンス層序



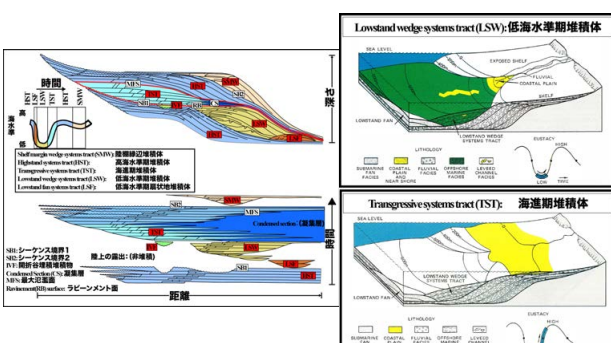
シーケンス層序



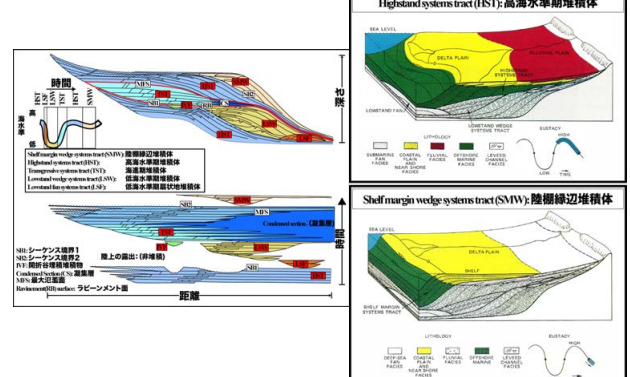
シーケンス層序



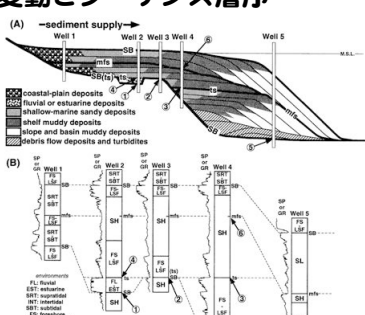
シーケンス層序



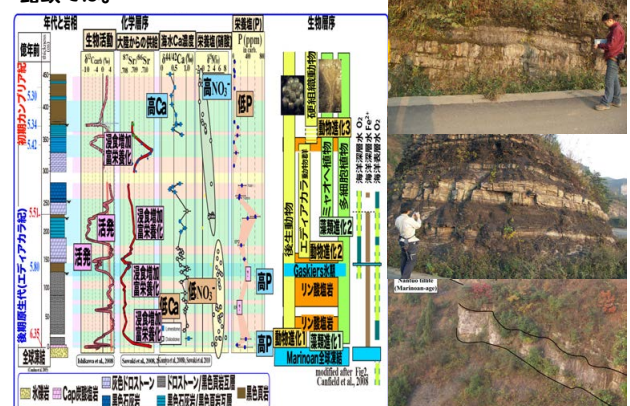
シーケンス層序



海水準変動とシーケンス層序



海水準変動とシーケンス層序 露頭では。



第8図 沿岸相に基づく不連続面の推定。ある不連続面を境に河川堆積物が陸成灰岩を覆っている場合(①),沿岸成灰岩が陸成灰岩を覆っている場合(②),あるいはカービティやアブリロード堆積物が洋縫泥岩を覆っている場合(③),その不連続面が海面準位以下となることが示された。シーケンス境界である可能性を示唆している。上位の堆積物が下位の堆積物を掩蔽する場合(④),あるいは堆積物が海面準位以下に位置する場合(⑤),その堆積物が海面準位と推定される。ある区間に内上下の地層よりも深い堆積物を示唆する場合(⑥),は、最大海面準位面に相当する。